

Starkniederschlagshöhen und -spenden gemäß KOSTRA-DWD-2010R

Auswertungszeitraum von 1951 - 2010, Januar - Dezember

Rasterfeld: 16043

Zeile: 16

Spalte: 43

Seite: 1/2

| Dauerstufe D | Wiederkehrzeit T | | | | | | | | | | | | | | | | | | |
|--------------|------------------|------|------------|------|------------|------|------------|------|------------|------|------------|------|------------|------|------------|------|------------|-------|------------|
| | 1 a | | 2 a | | 3 a | | 5 a | | 10 a | | 20 a | | 30 a | | 50 a | | 100 a | | |
| min | Std | mm | l / (s ha) | mm | l / (s ha) | mm | l / (s ha) | mm | l / (s ha) | mm | l / (s ha) | mm | l / (s ha) | mm | l / (s ha) | mm | l / (s ha) | mm | l / (s ha) |
| 5 | | 4,6 | 153,3 | 5,9 | 196,7 | 6,7 | 223,3 | 7,8 | 260,0 | 9,1 | 303,3 | 10,5 | 350,0 | 11,3 | 376,7 | 12,3 | 410,0 | 13,7 | 456,7 |
| 10 | | 7,1 | 118,3 | 9,0 | 150,0 | 10,2 | 170,0 | 11,6 | 193,3 | 13,5 | 225,0 | 15,4 | 256,7 | 16,5 | 275,0 | 17,9 | 298,3 | 19,8 | 330,0 |
| 15 | | 8,8 | 97,8 | 11,1 | 123,3 | 12,4 | 137,8 | 14,1 | 156,7 | 16,5 | 183,3 | 18,8 | 208,9 | 20,1 | 223,3 | 21,8 | 242,2 | 24,1 | 267,8 |
| 20 | | 10,0 | 83,3 | 12,6 | 105,0 | 14,1 | 117,5 | 16,1 | 134,2 | 18,7 | 155,8 | 21,3 | 177,5 | 22,9 | 190,8 | 24,8 | 206,7 | 27,5 | 229,2 |
| 30 | | 11,5 | 63,9 | 14,6 | 81,1 | 16,5 | 91,7 | 18,9 | 105,0 | 22,0 | 122,2 | 25,2 | 140,0 | 27,1 | 150,6 | 29,4 | 163,3 | 32,6 | 181,1 |
| 45 | | 12,7 | 47,0 | 16,6 | 61,5 | 18,9 | 70,0 | 21,7 | 80,4 | 25,5 | 94,4 | 29,4 | 108,9 | 31,7 | 117,4 | 34,5 | 127,8 | 38,3 | 141,9 |
| 60 | | 13,5 | 37,5 | 17,9 | 49,7 | 20,5 | 56,9 | 23,7 | 65,8 | 28,2 | 78,3 | 32,6 | 90,6 | 35,1 | 97,5 | 38,4 | 106,7 | 42,8 | 118,9 |
| 90 | | 15,1 | 28,0 | 19,8 | 36,7 | 22,5 | 41,7 | 26,0 | 48,1 | 30,7 | 56,9 | 35,5 | 65,7 | 38,2 | 70,7 | 41,7 | 77,2 | 46,4 | 85,9 |
| 120 | 2 | 16,3 | 22,6 | 21,2 | 29,4 | 24,1 | 33,5 | 27,8 | 38,6 | 32,7 | 45,4 | 37,7 | 52,4 | 40,6 | 56,4 | 44,2 | 61,4 | 49,2 | 68,3 |
| 180 | 3 | 18,1 | 16,8 | 23,4 | 21,7 | 26,5 | 24,5 | 30,5 | 28,2 | 35,8 | 33,1 | 41,1 | 38,1 | 44,2 | 40,9 | 48,1 | 44,5 | 53,4 | 49,4 |
| 240 | 4 | 19,6 | 13,6 | 25,2 | 17,5 | 28,4 | 19,7 | 32,5 | 22,6 | 38,1 | 26,5 | 43,7 | 30,3 | 46,9 | 32,6 | 51,0 | 35,4 | 56,6 | 39,3 |
| 360 | 6 | 21,8 | 10,1 | 27,8 | 12,9 | 31,3 | 14,5 | 35,7 | 16,5 | 41,7 | 19,3 | 47,6 | 22,0 | 51,1 | 23,7 | 55,5 | 25,7 | 61,5 | 28,5 |
| 540 | 9 | 24,4 | 7,5 | 30,7 | 9,5 | 34,5 | 10,6 | 39,2 | 12,1 | 45,6 | 14,1 | 52,0 | 16,0 | 55,7 | 17,2 | 60,4 | 18,6 | 66,8 | 20,6 |
| 720 | 12 | 26,3 | 6,1 | 33,0 | 7,6 | 36,9 | 8,5 | 41,9 | 9,7 | 48,6 | 11,3 | 55,3 | 12,8 | 59,2 | 13,7 | 64,2 | 14,9 | 70,9 | 16,4 |
| 1080 | 18 | 29,3 | 4,5 | 36,5 | 5,6 | 40,7 | 6,3 | 46,0 | 7,1 | 53,2 | 8,2 | 60,4 | 9,3 | 64,6 | 10,0 | 69,9 | 10,8 | 77,1 | 11,9 |
| 1440 | 24 | 31,7 | 3,7 | 39,2 | 4,5 | 43,7 | 5,1 | 49,2 | 5,7 | 56,7 | 6,6 | 64,3 | 7,4 | 68,7 | 8,0 | 74,3 | 8,6 | 81,8 | 9,5 |
| 2880 | 48 | 37,8 | 2,2 | 46,3 | 2,7 | 51,2 | 3,0 | 57,4 | 3,3 | 65,9 | 3,8 | 74,4 | 4,3 | 79,3 | 4,6 | 85,6 | 5,0 | 94,0 | 5,4 |
| 4320 | 72 | 41,9 | 1,6 | 50,9 | 2,0 | 56,2 | 2,2 | 62,8 | 2,4 | 71,8 | 2,8 | 80,8 | 3,1 | 86,1 | 3,3 | 92,7 | 3,6 | 101,7 | 3,9 |

Angaben in mm: Bemessungsniederschlagswerte h(n)

Angaben in l / (s ha): Regenspende R(n) mit $R(n) = h(n) \times 1,666667 / D[\text{min}]$

Toleranzbereiche:

+/- 10 % für $1 a \leq T \leq 5 a$

+/- 15 % für $5 a < T \leq 50 a$

+/- 20 % für $50 a < T \leq 100 a$

Datenbasis: KOSTRA-DWD-2010R des Deutschen Wetterdienstes. Die Regenspende wurde auf Basis des Bemessungsniederschlags zur jeweiligen Andauer berechnet.

Für die Richtigkeit und Aktualität der Angaben wird keine Gewähr übernommen. Erstellt 07/2022.

Starkniederschlagshöhen und -spenden gemäß KOSTRA-DWD-2010R

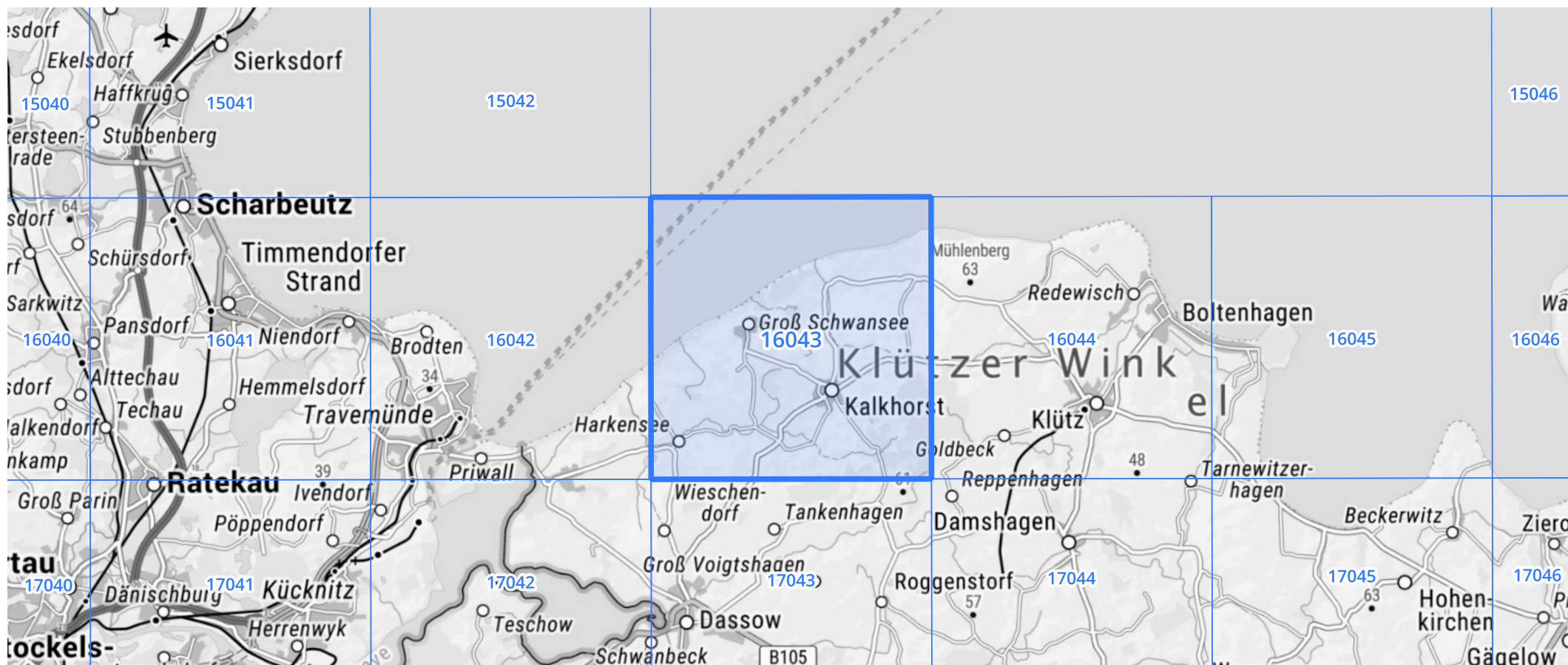
Auswertungszeitraum von 1951 - 2010, Januar - Dezember

Rasterfeld: 16043

Zeile: 16

Spalte: 43

Seite: 2/2



Quelle Rasterdaten: KOSTRA-DWD-2010R des Deutschen Wetterdienstes.

Kartendarstellung: © Bundesamt für Kartographie und Geodäsie (2022), Datenquellen: https://sgx.geodatenzentrum.de/web_public/gdz/datenquellen/Datenquellen_TopPlusOpen.html

Für die Richtigkeit und Aktualität der Angaben wird keine Gewähr übernommen. Erstellt 07/2022.